

УДК 532.5:534.23-13

© 1989

МАКАРОВ С. Н., СЕМЕНОВА Н. Г., СМИРНОВ В. Е.

МОДЕЛЬ АКУСТИЧЕСКОГО ТЕЧЕНИЯ ДЛЯ ИНТЕНСИВНОГО ЗВУКОВОГО ПУЧКА В СВОБОДНОМ ПРОСТРАНСТВЕ

Под стационарным акустическим течением в свободном пространстве понимают постоянное движение жидкости или газа, возникающее в поле звукового луча и направленное от источника звука. Течения такого рода используются в ряде технологических процессов [1], в частности при конструировании акустических насосов [2, 3]. Экспериментально наблюдаемая скорость течения в воде не превышает нескольких м/с, в воздухе — десятков м/с [3].

В отличие от эккартовских (одномерных потоков в трубе) акустические течения в свободном пространстве теоретически изучены менее подробно. В работе [4] сформулированы общие уравнения потока, подобные уравнениям Прандтля для пограничного слоя. Модельное решение для плоского пучка получено в [5]. Медленное течение при $Re < 1$ исследовалось в работе [6]. В реальных условиях интенсивные потоки характеризуются существенно большими значениями гидродинамического числа Рейнольдса $Re \approx 100$.

Ниже рассмотрено стационарное акустическое течение в жидкой баротропной среде (воде), возбуждаемое плоским круглым излучателем на частотах мегагерцевого диапазона, при больших гидродинамических числах Рейнольдса. Исследована область течения, меньшая дифракционной длины, но включающая зону образования разрыва и нелинейного затухания пилообразной волны конечной амплитуды.

Экспериментально установлено, что в данных условиях прямое течение практически не выходит за границу пучка. Подтекание жидкости в основной поток происходит в каждой точке боковой поверхности пучка [7], исключая, может быть, область вблизи излучателя, где звуковое поле существенно неоднородно [8]. Эта область ниже не рассматривается.

Считаем также, что акустическое течение не изменяет параметров звуковой волны внутри пучка. Воздействие постоянного течения на звуковое поле связано в основном с увеличением скорости звука в движущейся среде [9]. Для воды оно составляет менее 0,1% и, следовательно, пренебрежимо мало.

1. Пусть ρ , p , v — мгновенные значения плотности, давления и колебательной скорости внутри пучка в отсутствие потока, ρ_0 , p_0 , c_0 — равновесные значения параметров жидкости. Элементарный объем жидкости совершает периодические колебательные движения в звуковом поле и одновременно движется поступательно вдоль линии тока акустического течения со скоростью W . Выпишем интеграл механической энергии (интеграл Бернулли) для поступательных движений.

В поле плоского звукового пучка, распространяющегося в направлении оси x , на жидкость действует объемная сила F вида [6, 10]

$$F_x = -\rho_0 \frac{d\langle v^2 \rangle}{dx} > 0, \quad r < R, \quad F_x = 0, \quad r > R, \quad F_r = 0 \quad (1.1)$$

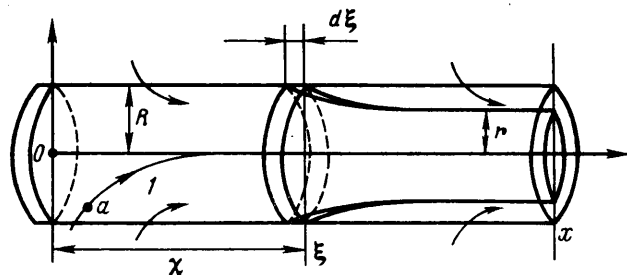
где r — радиальная координата, R — радиус пучка. Во внутренней области пучка сила F (1.1) имеет потенциал $\phi = \rho_0 \langle v^2 \rangle$.

Потенциал объемного действия сил давления равен среднему значению функции давления P [11] в звуковом поле. Разлагая давление в ряд Тэйлора около равновесного значения p_0 и преобразуя нелинейное слагаемое с помощью равенства $p - p_0 = \rho_0 c_0 v$, находим

$$\langle P \rangle = \langle p - p_0 \rangle / \rho_0 - 1/2 \langle v^2 \rangle \quad (1.2)$$

В соответствии с условием «поджатия» (см. [10, 12]) среднее от избыточного гидростатического давления $\langle p-p_0 \rangle$ для ограниченной по сечению волны равно нулю.

Зафиксируем сечение пучка с координатой x и рассмотрим линию тока акустического течения, проходящую через его центр (кривая 1 на фиг. 1). Линия тока 1 пересекает боковую поверхность пучка в непосредственной



Фиг. 1

близости от излучателя, а скорость течения на ней $W(x)$ максимальна по сечению. Интеграл Бернулли вдоль линии тока имеет вид

$$\frac{1}{2}W^2 + \langle P \rangle + \varphi / \rho_0 = \text{const} \quad (1.3)$$

Выберем на линии тока 1 точку a вблизи ее пересечения с боковой поверхностью пучка и будем считать, что $|W_a| \ll W(x)$. Подставляя в (1.3) значения $\langle P \rangle$ (1.2) и φ и определяя постоянную, получим

$$W^2 = \langle v^2(0) \rangle - \langle v^2(x) \rangle \quad (1.4)$$

Формула (1.4) задает максимальную скорость акустического течения в сечении x при $r=0$. На оси пучка и только на ней сумма динамического давления акустического потока $\rho_0 W^2$ и радиационного давления звука $\rho_0 \langle v^2(x) \rangle$ [10] остается постоянной. Этот результат соответствует известной теореме Борнгиса [13].

2. Определим скорость затекания жидкости в звуковой пучок и профиль акустического течения. Обозначим $V_n(x)$ нормальную компоненту скорости течения на боковой поверхности пучка и рассмотрим «трубку тока», входящую в пучок вблизи точки ξ с сечением на боковой поверхности $2\pi R d\xi$ (фиг. 1). Вновь используя схему рассуждений разд. 1, находим, что скорость в трубке тока в сечении x $W(x, \xi)$ будет равна

$$W^2 = \langle v^2(\xi) \rangle - \langle v^2(x) \rangle \quad (2.1)$$

а площадь dS , занятая трубкой тока в сечении x , определяется равенством $W dS = V_n(\xi) 2\pi R d\xi$. Разделив на W и проинтегрировав по ξ в пределах 0, x , получим

$$R = 2 \int_0^x \frac{V_n(\xi)}{W(x, \xi)} d\xi \quad (2.2)$$

Решая интегральное уравнение (2.2) с учетом (2.1), находим скорость затекания как функцию расстояния от источника

$$V_n(x) = - \frac{R}{2\pi \sqrt{\langle v^2(0) \rangle - \langle v^2(x) \rangle}} \frac{d\langle v^2 \rangle}{dx} \quad (2.3)$$

Из (2.3) следует, что скорость затекания жидкости в пучок неравномерна и определяется в основном градиентом величины $\langle v^2 \rangle$.

Профиль акустического течения $V_a(r, x)$ находится из решения ин-

тегрального уравнения

$$\int_0^r V_a r_1 dr_1 = R \int_0^x V_n(\xi) d\xi \quad (2.4)$$

где $\chi(r, x)$ — размер зоны, через которую жидкость поступает в круг радиуса r в сечении x (фиг. 1). Если в левой части (2.2) заменить R на r , χ будет верхним пределом интеграла правой части. Взяв значение V_n из (2.3), получим неявное решение $\langle v^2(0) \rangle - \langle v^2(\chi) \rangle = (\langle v^2(0) \rangle - \langle v^2(x) \rangle) \times \sin^2(1/2\pi(r/R)^2)$. Подставляя результат в (2.4), находим

$$V_a = \sqrt{\langle v^2(0) \rangle - \langle v^2(x) \rangle} \cos(1/2\pi(r/R)^2) \quad (2.5)$$

Профиль акустического течения (2.5) имеет платообразный характер и отличается от профиля экартовского течения в круглой трубе [10]. При $r=0$ из (2.5) следует (1.4).

3. Сравним полученное решение с данными по измерению скорости интенсивного акустического течения в воде. Полагая $c_0 = 1,5 \cdot 10^3$ м/с, $\rho_0 = 10^3$ кг/м³, $\gamma = 7$, перепишем (1.4) в виде

$$V_a^* = 47 p_a \sqrt{\frac{\tau_i}{\tau_f} \sqrt{1 - E(x)}}, \quad p_a = 0,173 \sqrt{I} \quad (3.1)$$

где V_a^* — максимальная скорость течения в см/с, p_a — амплитуда звукового давления на излучателе в мегапаскалях, x — расстояние до излучателя в см, I — интенсивность звука у излучателя в Вт/см²; τ_i , τ_f — длительность импульса и период следования для импульсного режима излучения. Величина E (удвоенное среднее квадрата безразмерной колебательной скорости) определяется из решения уравнения Бюргерса [14]

$$E(x) = 2 \langle V^2(z) \rangle; \quad V_z - V V_\theta - \Gamma V_{\theta\theta} = 0 \quad (3.2)$$

$$V(z=0) = \sin \theta; \quad z = f p_a x / 13,4, \quad \Gamma = 3,4 \cdot 10^{-3} f / p_a$$

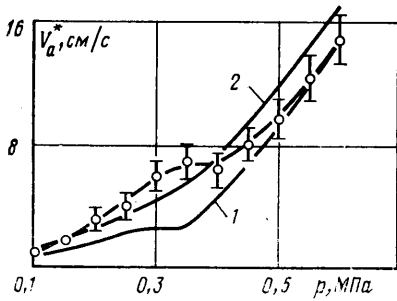
Здесь f — частота излучения в МГц, z — безразмерное расстояние, значение Γ вычислено для коэффициента поглощения воды $\alpha/f^2 = 25 \cdot 10^{-15}$ с²м⁻¹.

Величина $E(x)$ определялась численным интегрированием краевой задачи (3.2) спектральным методом [15] с погрешностью не более 0,5%.

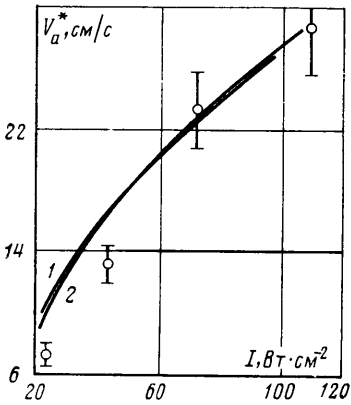
На фиг. 2 приведены экспериментальные данные для скорости акустического потока на расстоянии 40 см от излучателя, работающего в непрерывном режиме на частоте $f = 1,2$ МГц [7] (в [7] допущена неточность: масштаб по оси абсцисс на фиг. 4, как следует из текста, необходимо уменьшить в 2 раза). Теоретическая кривая I , рассчитанная по формуле (3.1), хорошо соответствует экспериментальным точкам в области $p_a \geq 0,45$ МПа, где основную роль в уменьшении величины E играет нелинейное поглощение пилообразной волны. Заметим, что скачок в гармонической на входе волне в точке наблюдения образуется при $p_a \approx 0,3$ МПа. Расхождение в области $p_a \leq 0,45$ МПа связано скорее всего с избыточным малоамплитудным поглощением за счет присутствия в жидкости визуализирующих частиц, пузырьков воздуха и т. д. Расчет по формуле Лэмба [1] показывает, что при наличии в 1 см³ воды 10 частиц с плотностью $\rho = \rho_0$ и радиусом 0,15 мкм коэффициент поглощения первой гармоники возрастает в 1,4 раза, второй — в 2,5 раза, а третьей — более чем в 4 раза. Кривая 2 на фиг. 2 рассчитана для среднего коэффициента поглощения, превышающего нормальный в 2,5 раза. Отклонение от экспериментальных данных во всей области измерений составляет при этом не более 25%.

На фиг. 3 приведены значения максимальной скорости течения на расстоянии 37 см от того же излучателя, работающего в импульсном режиме

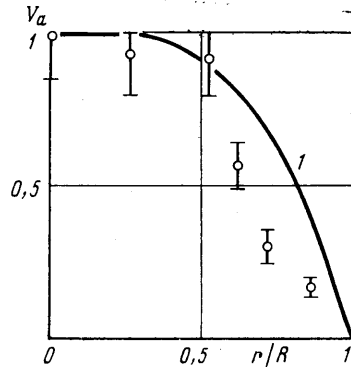
с $\tau_i=3$ мс, $\tau_f=20$ мс, $f=1,2$ МГц [7]. По оси абсцисс отложена интенсивность волны у экрана из звукопрозрачной пленки, помещенного на расстоянии 17 см от излучателя. В данном эксперименте звуковая волна за экраном всегда имеет пилообразную форму. Для расчета течения за экраном единицу в подкоренном выражении (3.1) следует заменить на $E(x=17)$. Теоретическая кривая 1 для $\gamma=7$ описывает экспериментальные данные с погрешностью $\leq 40\%$, кривая 2, рассчитанная для $\gamma=6,1$, — с погрешностью $\leq 30\%$.



Фиг. 2



Фиг. 3



Фиг. 4

На фиг. 4 изображен профиль акустического течения на расстоянии 50 см от излучателя ($f=1,1$ МГц), найденный экспериментально по методике, описанной в [8], и рассчитанный по формуле (2.5) (кривая 1). Погрешность в обла-

сти $r \leq 1/2 R$ не превышает 7%.

Таким образом, предложенная модель интенсивного акустического течения в свободном пространстве удовлетворительно описывает имеющиеся экспериментальные данные. Одновременно она определяет местную скорость затекания жидкости в область звукового пучка (формула 2.3) и суммарный расход в произвольном сечении пучка. Этого достаточно, чтобы рассчитать оптимальную конструкцию акустического насоса, работающего в жидкой среде.

ЛИТЕРАТУРА

1. Бергман Л. Ультразвук и его применение в науке и технике: Пер. с нем. М.: Изд-во иностр. лит., 1957. 726 с.
2. Dauphinee T. M. Acoustic air pump // Rev. Sci. Instrum. 1957, V. 28. № 6. P. 452.
3. Медников Е. П., Новицкий Б. Г. Экспериментальное исследование мощного звукового ветра // Акуст. журн. 1975. Т. 21. Вып. 2. С. 245–249.
4. Гусев В. Э., Руденко О. В. Нестационарные квазиодномерные акустические течения в неограниченных объемах с учетом гидродинамической нелинейности // Акуст. журн. 1979. Т. 25. Вып. 6. С. 875–881.
5. Островский Л. А., Папилова И. А. О нелинейном акустическом ветре // Акуст. журн. 1974. Т. 20. Вып. 1. С. 79–86.
6. Lighthill J. Acoustic streaming // J. Sound and Vibr. 1978. V. 61. № 33. P. 391–418.
7. Романенко Е. В. Экспериментальное исследование акустических потоков в воде // Акуст. журн. 1960. Т. 6. Вып. 1. С. 92–95.

8. Семенова Н. Г. Экспериментальное исследование некоторых случаев акустических течений: Автореф. дис. ... канд. физ.-мат. наук: 01.02.05. М., 1969. 17 с.
9. Бахвалов Н. С., Жилейкин Я. М., Заболотская Е. А. Нелинейная теория звуковых пучков. М.: Наука, 1982. 174 с.
10. Зарембо Л. К., Красильников В. А. Введение в нелинейную акустику. Звуковые и ультразвуковые волны большой интенсивности. М.: Наука, 1966. 519 с.
11. Лойцянский Л. Г. Механика жидкости и газа. М.: Наука, 1987. 840 с.
12. Ландау Л. Д., Лифшиц Е. М. Гидродинамика. М.: Наука, 1986. 736 с.
13. Borgnis F. E. On the forced due to acoustic wave motion in a viscous medium and their use in the measurement of acoustic intensity // J. Acoust. Soc. Amer. 1953, V. 25. № 3. P. 546-548.
14. Васильева О. А., Карабутов А. А., Лапшин Е. А., Руденко О. В. Взаимодействие одномерных волн в средах без дисперсии. М.: Изд-во МГУ, 1983. 152 с.
15. Макаров С. Н., Хамзина Б. С. Численный расчет эволюции интенсивных импульсов в газодинамическом приближении // Вестн. ЛГУ. Сер. 1. 1987. Вып. 3, С. 108-111.

Ленинград

Поступила в редакцию
22.II.1988